

東京大學生産技術研究所 正員 ○佐藤剛司
 東京大学大学院 学生員 高野公寿
 東京大學生産技術研究所 正員 龍岡文夫
 同上 正員 三木五郎

1. まえがき

地盤中に耐腐食性のネット等を補強材として埋設した補強土工法が既に用いられている。この補強材として新たに、引張強さを持ち、土との組合せ効果が大きく、耐薬品性と透水性に優れ、長繊維の不織布を用いる可能性があるものと思われる。そこで、この不織布を用いて、供試体の強さと変形・クリープ特性を三軸圧縮試験により、その補強に関する基礎的実験を行ったので報告する。

2. 実験概要

実験に用いた不織布は、ポリプロピレン 100% の長繊維を製織したもので、からめ合せて作られたシートのもので、その物性は、厚さ約 3 mm、引張・引裂強さは縦横それぞれ 50, 22 kN/5cm, 15, 25 kN であり、伸びは縦 80%，横 90% で、透水係数は水平 10^{-1} cm/s、垂直 10^2 cm/s である。供試体は、試料土として豊浦標準砂 ($G_s = 2.64$, $c_{max} = 0.96$, $c_{min} = 0.64$) を用い、気乾状態の砂を漏斗によりモールド内（直径 75 mm、高さ 150 mm）に自由落下させて作製したが、このときに、不織布を直径 75 mm に切ったものの 4 枚を、Fig. 1 に示すように等間隔に水平に敷き込んで作製した。また、このときの供試体の密度は、砂の落下高さにより密詰め ($D_r = 92\%$)、ゆる詰め ($D_r = 48\%$) とし、端面にはポーラスストーンを用いた。

供試体作製後、供試体に二酸化炭素、脱気水を通して飽和させ、側圧 2 kN/cm^2 、背圧 1 kN/cm^2 、有効拘束応力 1 kN/cm^2 で等方圧密後、排水せん断試験（ひずみ速度 0.38 mm/min ）およびクリープ試験を行った。クリープ試験は、軸荷重 $P = 300 \text{ kN}$ （軸差応力 $\sigma = 6.59 \text{ kN/cm}^2$ ）、 $P = 460 \text{ kN}$ ($\sigma = 9.62 \text{ kN/cm}^2$)、 $P = 600 \text{ kN}$ ($\sigma = 10.65 \text{ kN/cm}^2$) の 3 点で、その時間は、それぞれ 2 時間、48 時間、42 時間であつた。また、最初のクリープ開始までの載荷およびクリープ中の載荷方式はひずみ制御に準じて行った。

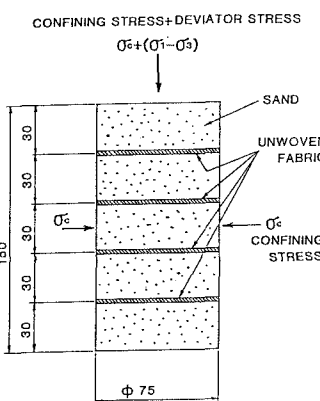


Fig.1. 供試体の状態

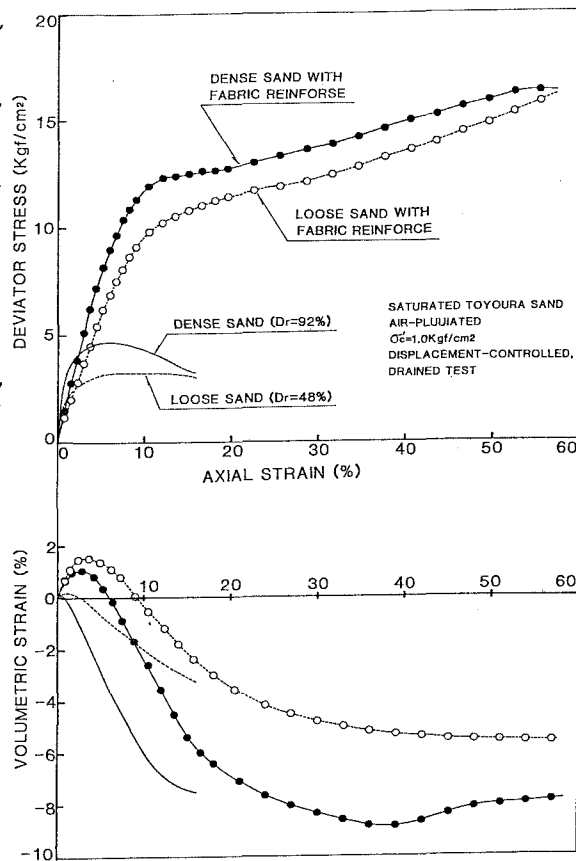


Fig.2. 砂および不織布の三軸圧縮試験結果

3. 実験結果とその考察

砂および不織布による補強土の三軸圧縮試験結果をFig.2に示し、不織布の三軸クリープ試験結果をFig.3に示した。また、クリープ時間と軸ひずみ、時間・変位増分比の関係をFig.4, 6に示し、Fig.5には軸ひずみと体積変化の関係を示す。

不織布による補強土の強さは、Fig.2に示すように、応力として砂に比べて3倍以上の強さを発揮する。これは、不織布が引張・引裂強度を持っていると共に砂粒子との組合せ効果が大きいために、圧縮時に砂の水平方向への膨張を極めて強力に拘束するために大きな強度増加をもたらしている。また、水平に敷き込んだ不織布の間隔が30mmと小さくして、H/Dが極端に小さい砂の三軸試験と同様に、軸ひずみの増加に伴い、不織布間で無数のすべり線が発生し、不織布面が全て摩擦面となる。このことにより、補強土の密詰め、りん詰めによる強度差は小さくなると共に、残留強度は砂の場合に比べて非常に大きくなり、軸ひずみが50%を越えても破壊しない。 E_{50} は不織布自身に圧縮性があるために、砂よりも減少している。不織布による補強土のクリープ特性は、

Fig.3に示すように、各荷重段階においていずれも破壊せず、再載荷初期にクリープによる不感帶が見られる。また、体積変化はクリープによる変化ではなく、ひずみ制御によるせん断試験と同様に連続的に結果を示している。クリープ時の軸ひずみはFig.4に示すようにわずかに増加しているが、Fig.6の $\log(\Delta\epsilon/\Delta t)$ の値を見ると、各荷重段階とも時間の経過により減少の方向にあり、クリープにより破壊しないことが判る。このように不織布を用いた補強土はクリープ破壊しないことが判った。

4. あとがき

今回の基礎実験により、不織布による補強土は、 E_{50} は減少するが、大きな強度増加があり、残留強度が非常に大きいこと、容易にクリープ

破壊しないことなどの特性が判った。今後さらに、試験条件の相違と粘性土への適用性などの基礎実験との検討を行う予定である。

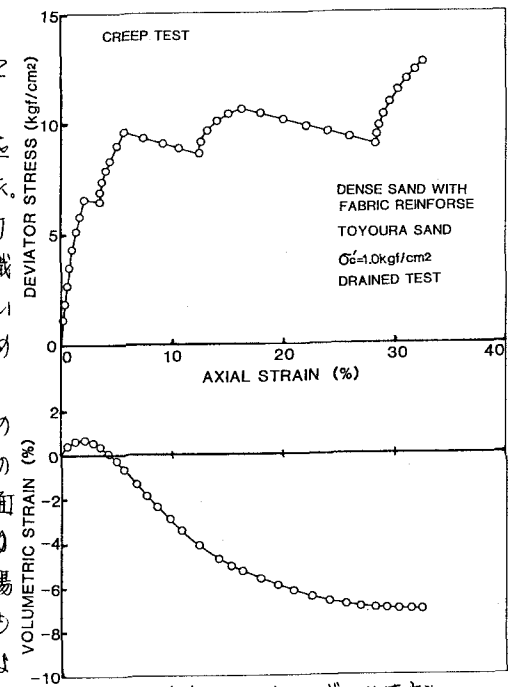


Fig.3. クリープ試験における応力・ひずみ・体積変化

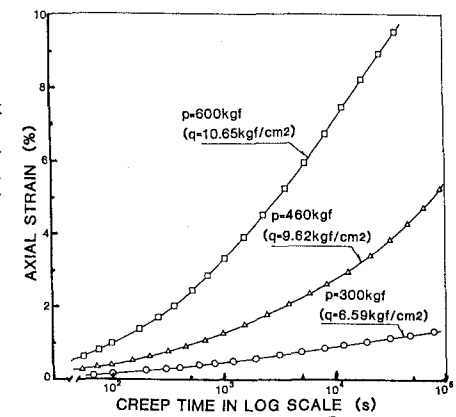


Fig.4. クリープ時間と軸ひずみの関係

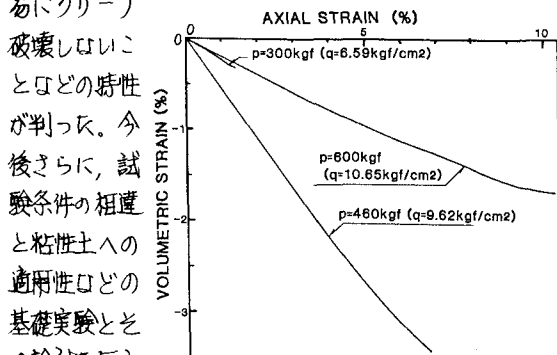


Fig.5. クリープ時の軸ひずみと体積変化

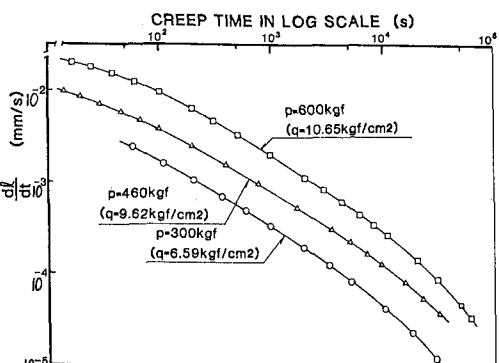


Fig.6. クリープ時間と変位・時間増分比の関係